



ΑΡΙΣΤΟΤΕΛΕΙΟ  
ΠΑΝΕΠΙΣΤΗΜΙΟ  
ΘΕΣΣΑΛΟΝΙΚΗΣ

Τμήμα Ηλεκτρολόγων Μηχανικών & Μηχανικών Υπολογιστών  
Προσομοίωση και Μοντελοποίηση Δυναμικών Συστημάτων

Εργασία 1 :Γραμμική Παραμετροποίηση, Εκτίμηση  
Άγνωστων Παραμέτρων, Μέθοδος των Ελαχίστων  
Τετραγώνων

Ονοματεπώνυμο: Λιόλιος Αναστάσιος

AEM: 9171

Ημερομηνία: 7 Απριλίου 2022

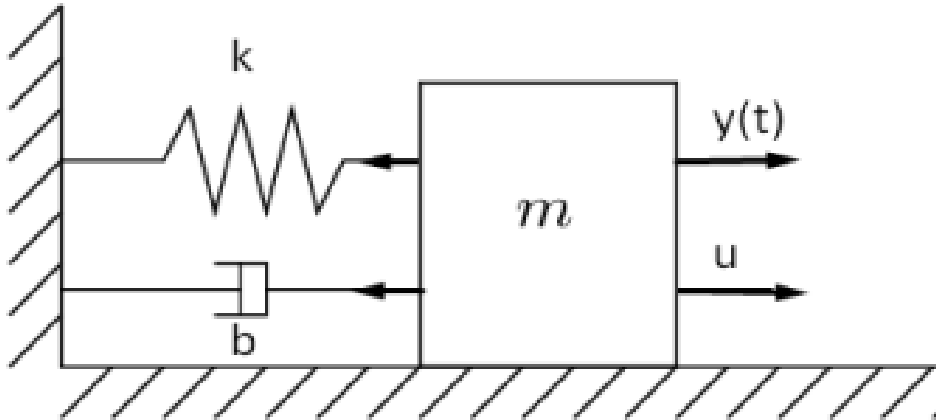
Email: [lioliosaa@ece.auth.gr](mailto:lioliosaa@ece.auth.gr)

# Περιεχόμενα

1	Θέμα 1	1
1.1	Πρώτο Ερώτημα . . . . .	1
1.2	Δεύτερο Ερώτημα . . . . .	2
1.3	Τρίτο Ερώτημα . . . . .	4
<b>2</b>	<b>Θέμα 2</b>	<b>7</b>
2.1	Πρώτο Ερώτημα . . . . .	7
2.2	Δεύτερο Ερώτημα . . . . .	15

## 1 Θέμα 1

Δίνεται το σύστημα μάζας - ελατηρίου - αποσβεστήρα που φαίνεται στο παρακάτω σχήμα:



- m:** μάζα σώματος
- b:** σταθερά απόσβεσης
- k:** σταθερά ελατηρίου
- u:** εξωτερική δύναμη
- y(t):** μετατόπιση

### 1.1 Πρώτο Ερώτημα

Η μεταβλητή  $y$  εκφράζει την χρονική μετατόπιση του σώματος  $m$ . Η χρονική της παράγωγος  $\dot{y}$  εκφράζει την ταχύτητα του σώματος και η χρονική παράγωγος αυτής,  $\ddot{y}$  εκφράζει την επιτάχυνση.

Από τον δεύτερο νόμο του Νεύτωνα προκύπτει το παρακάτω μοντέλο που περιγράφει τη δυναμική συμπεριφορά του συστήματος:

$$m\ddot{y} = -b\dot{y} - ky + u$$

$$\ddot{y} = -\frac{b}{m}\dot{y} - \frac{k}{m}y + \frac{1}{m}u \quad (1.1)$$

Στη συνέχεια, συγκεντρώνουμε το όλες τις παραμέτρους σε ένα διάνυσμα  $\theta^*$  και τα σήματα εισόδου -εξόδου στο σε ένα διάνυσμα  $\Delta$

$$\theta^* = \begin{bmatrix} \theta_1^* & \theta_2^* \end{bmatrix}^T = \begin{bmatrix} a_1 & a_2 & b_0 \end{bmatrix} = \begin{bmatrix} \frac{b}{m} & \frac{k}{m} & \frac{1}{m} \end{bmatrix}^T$$

$$\Delta = \begin{bmatrix} -y & -\dot{y} & u \end{bmatrix} = \begin{bmatrix} -\Delta_1(s)^T y & \Delta_0(s)^T u \end{bmatrix}$$

Επομένως, καταλήγουμε

$$\dot{y} = \theta^{*T} \Delta \quad (1.2)$$

Ωστόσο, τα μοναδικά σήματα που μπορούμε να μετρήσουμε είναι μόνο η είσοδος  $u$  και η έξοδος  $y$  ενώ επίσης η χρήση παραγωγίσης είναι απαγορευτική. Άρα δεν μπορούμε να χρησιμοποιήσουμε ούτε το  $\dot{y}$  ούτε το  $\Delta$ .

Για να λύσουμε το πρόβλημα, φιλτράρουμε και τα δύο μέρη της εξίσωσης (1.2) με ένα ευσταθές φίλτρο 2ης τάξης  $\frac{1}{\Lambda(s)}$ . Έστω ότι  $\Lambda(s) = (s+1)^2 = s^2 + 2s + 1$  όπου το φίλτρο είναι ευσταθές έχοντας όλες τις ιδιοτιμές του στο αριστερό ημιεπίπεδο. Προκύπτει, επομένως, το διάνυσμα  $\lambda = \begin{bmatrix} 2 & 1 \end{bmatrix}^T$

Να σημειωθεί ότι για την επάρκεια του φίλτρου θα πρέπει να το δοκιμάσουμε και αν δεν απορρίπτει συχνότητες που περιέχουν την πληροφορία τότε είναι επαρκές. Σε διαφορετική περίπτωση θα πρέπει να κάνουμε κάποια άλλη επιλογή. Εφαρμόζοντας το παραπάνω φίλτρο στην (1.2) προκύπτει:

$$z = \theta^{*T} \zeta = \theta_1^{*T} \zeta_1 + \theta_2^{*T} \zeta_2 \quad (1.3)$$

$$\text{με } z = \frac{1}{\Lambda(s)} \dot{y} = \frac{s^2}{\Lambda(s)} y \text{ και } \zeta = \begin{bmatrix} \zeta_1 & \zeta_2 \end{bmatrix}^T = \begin{bmatrix} -\frac{\Delta_1(s)^T}{\Lambda(s)} y & \frac{\Delta_1(s)^T}{\Lambda(s)} u \end{bmatrix}^T = \begin{bmatrix} -\frac{\begin{bmatrix} s & 1 \end{bmatrix}}{(s+1)^2} y & \frac{\begin{bmatrix} 1 \end{bmatrix}}{(s+1)^2} u \end{bmatrix}^T = \begin{bmatrix} -\frac{s}{(s+1)^2} y & -\frac{1}{(s+1)^2} y & \frac{1}{(s+1)^2} u \end{bmatrix}.$$

Βλέπει κανείς ότι  $\Lambda(s) = s^2 + \lambda^T \Delta_1(s)$ . Άρα:

$$z = \frac{s^2}{\Lambda(s)} y = \frac{\Lambda(s) - \lambda^T \Delta_1(s)}{\Lambda(s)} y = y - \frac{\lambda^T \Delta_1(s)}{\Lambda(s)} y$$

$$y = z + \frac{\lambda^T \Delta_1(s)}{\Lambda(s)} y \quad (1.4)$$

Από (1.3), (1.4) συνεπάγεται ότι:

$$y = \theta_1^{*T} \zeta_1 + \theta_2^{*T} \zeta_2 - \lambda^T \zeta_1$$

$$y = \theta_\lambda^{*T} \zeta$$

$$\text{με } \theta_\lambda^{*T} = \begin{bmatrix} \theta_1^{*T} & -\lambda^T \theta_2^{*T} \end{bmatrix} = \begin{bmatrix} a_1 - 2 & a_2 - 1 & b_0 \end{bmatrix}.$$

Επομένως, έχουμε την επιθυμητή μορφή  $y = \theta_\lambda^{*T} \zeta$  για το σύστημα μας όπου το  $\zeta$  πρόκειται για ένα σήμα που παράγεται από μετρήσεις εισόδου εξόδου και αυτό σημαίνει ότι το σύστημα είναι υλοποιήσιμο. Όσο αναφορά τα φίλτρα είναι και αυτά υλοποιήσιμα αφού ο βαθμός του παρονομαστή είναι μεγαλύτερος από αυτόν του αριθμητή.

## 1.2 Δεύτερο Ερώτημα

Άπό το πρώτο ερώτημα έχουμε καταφέρει να μετατρέψουμε το σύστημα σε γραμμικά παραμετροποιημένο, άρα αυτό σημαίνει ότι μπορεί να εφαρμοστεί η μέθοδος των ελάχιστων τετραγώνων για να υπολογίσουμε το  $\theta_0$  για να βρούμε το ελάχιστο σφάλμα.

Αρχικά, εφαρμόζεται ο Μετασχηματισμός Laplace στο ζ:

$$\varphi_1(t) = LT^{-1}\left[-\frac{s}{(s+1)^2}y\right](t)$$

$$\varphi_2(t) = LT^{-1}\left[-\frac{1}{(s+1)^2}y\right](t)$$

$$\varphi_3(t) = LT^{-1}\left[\frac{1}{(s+1)^2}y\right](t)$$

Στη συνέχεια ορίζεται ο πίνακας  $\Phi$  ο οποίος έχει  $N$  μετρήσεις των παραπάνω στοιχείων

$$\Phi = \begin{bmatrix} \varphi_1(1) & \varphi_2(1) & \varphi_3(1) \\ \varphi_1(2) & \varphi_2(2) & \varphi_3(2) \\ & \vdots & \\ \varphi_1(N) & \varphi_2(N) & \varphi_3(N) \end{bmatrix}$$

και το διάνυσμα  $Y$  για  $N$  μετρήσεις εξόδου

$$Y = \begin{bmatrix} Y(1) & Y(2) & \dots & Y(N) \end{bmatrix}$$

Επομένως, το σφάλμα πρόβλεψης προκύπτει ως εξής  $e = Y - \Phi\Theta$  και η συνάρτηση που είναι για ελαχιστοποίηση είναι  $V_N = \frac{|Y - \Phi\Theta|^2}{2}$

Για το ζητούμενο  $\theta_0$  ισχύει ότι:

$$\theta_0 = \underset{\theta}{\operatorname{argmin}} \frac{1}{N} \sum_{t=1}^N \frac{|e^2|}{2}$$

Αποδεικνύεται ότι η  $V_N$  είναι κυρτή ως προς  $\theta$  για κάθε  $t$ . Επομένως, αυτό σημαίνει ότι αν πάρουμε  $\frac{dV_N}{d\theta} = 0$  θα βρούμε το μοναδικό ελάχιστο  $\theta_0$ .

$$\frac{dV_N}{d\theta} = 0 \Rightarrow (Y - \Phi\theta_0)^T(-\Phi) = 0 \Rightarrow -Y^T\Phi + \theta_0^T\Phi^T\Phi = Y^T\Phi$$

Αν το  $\Phi^T\Phi$  είναι αντιστρέψιμο, το σύστημα θα έχει μοναδική λύση:

$$\theta_0^T = Y^T\Phi(\Phi^T\Phi)^{-1} \Rightarrow \theta_0^T = \begin{bmatrix} Y(1) & Y(2) & \dots & Y(N) \end{bmatrix} \begin{bmatrix} \varphi_1(1) & \varphi_2(1) & \varphi_3(1) \\ \varphi_1(2) & \varphi_2(2) & \varphi_3(2) \\ & \vdots & \\ \varphi_1(N) & \varphi_2(N) & \varphi_3(N) \end{bmatrix}$$

$$\left( \begin{bmatrix} \varphi_1(1) & \varphi_1(2) & \dots & \varphi_1(N) \\ \varphi_2(1) & \varphi_2(2) & \dots & \varphi_2(N) \\ \varphi_3(1) & \varphi_3(2) & \dots & \varphi_3(N) \end{bmatrix} \begin{bmatrix} \varphi_1(1) & \varphi_2(1) & \varphi_3(1) \\ \varphi_1(2) & \varphi_2(2) & \varphi_3(2) \\ & \vdots & \\ \varphi_1(N) & \varphi_2(N) & \varphi_3(N) \end{bmatrix} \right)^{-1}$$

Οι διαστάσεις του  $\theta_0^T$  θα είναι (1 X 3).

### 1.3 Τρίτο Ερώτημα

Με βάση τα ζητούμενα του ερωτήματος η προσομοίωση έγινε με τα ακόλουθα δεδομένα  $m = 10kg$ ,  $b = 0.3kg/s$ ,  $k = 1.5kg/s^2$  και  $u = 10\sin(3t) + 5N$ . Χρησιμοποιήθηκαν δείγματα ανά  $0.1s$  για  $10s$  θεωρώντας μηδενικές αρχικές συνθήκες για τις καταστάσεις του συστήματος. Παρακάτω γίνεται μια σύντομη αναφορά στα αρχεία του κώδικα και στη συνέχεια σχολιάζονται τα αποτελέσματα της προσομοίωσης.

Αρχεία κώδικα:

**dynamics\_func.m:** Συνάρτηση που υλοποιεί τις εξισώσεις κατάστασης του συστήματος

**u\_func.m:** Συνάρτηση που υλοποιεί την  $u = 10\sin(3t) + 5N$  που αναφέρεται παραπάνω

**least\_square\_method.m:** Συνάρτηση που υλοποιεί την μέθοδο ελαχίστων τετραγώνων που δείξαμε στα προηγούμενα ερωτήματα

**demo\_script\_problem1.m:** Script που χρησιμοποιεί όλες τις παραπάνω συναρτήσεις για την προσομοίωση του προβλήματος και την παρουσίαση των αποτελεσμάτων του.

Αποτελέσματα Προσομοίωσης:

Το διάνυσμα  $\theta_0^T$  που προκύπτει από την υλοποίηση της μεθόδου ελαχίστων τετραγώνων είναι:

$$\theta_0^T = \begin{bmatrix} -1.9698 & -0.8500 & 0.1002 \end{bmatrix}$$

Επίσης προκύπτουν τα εξής:

$$k = 1.4982$$

$$m = 9.985$$

$$b = 0.3016$$

Καταλαβαίνει κανείς ότι τα αποτελέσματα της προσομοίωσης είναι αρκετά παρόμοια, σχεδόν ίσα με τα αρχικά πραγματικά δεδομένα.

### MATLAB FIGURES

Παρακάτω παρουσιάζονται τρία γραφήματα για την πραγματική έξοδο του συστήματος, για την εκτίμηση της εξόδου του μοντέλου καθώς και για το σφάλμα όπως ορίστηκε παραπάνω.

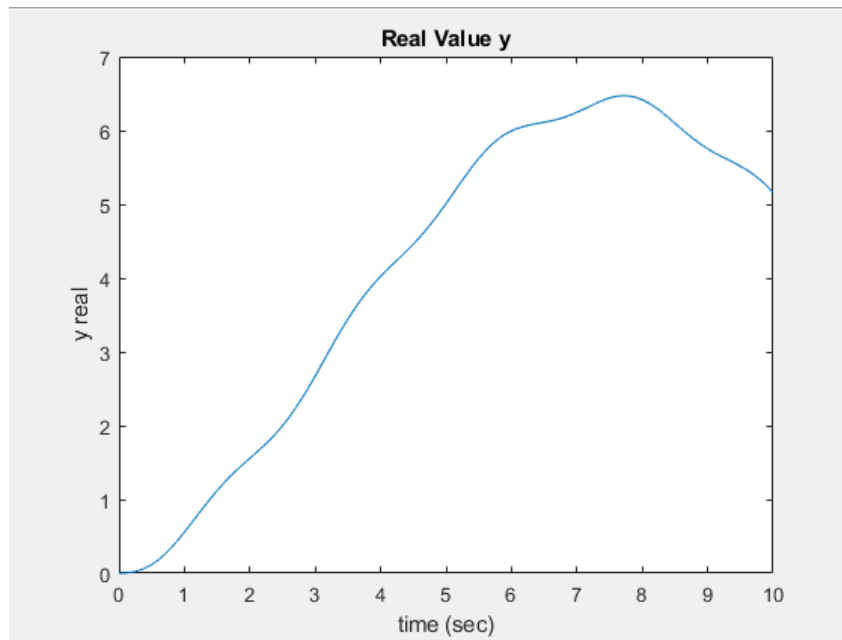


Figure 1.1: Πραγματική Έξοδος του Συστήματος

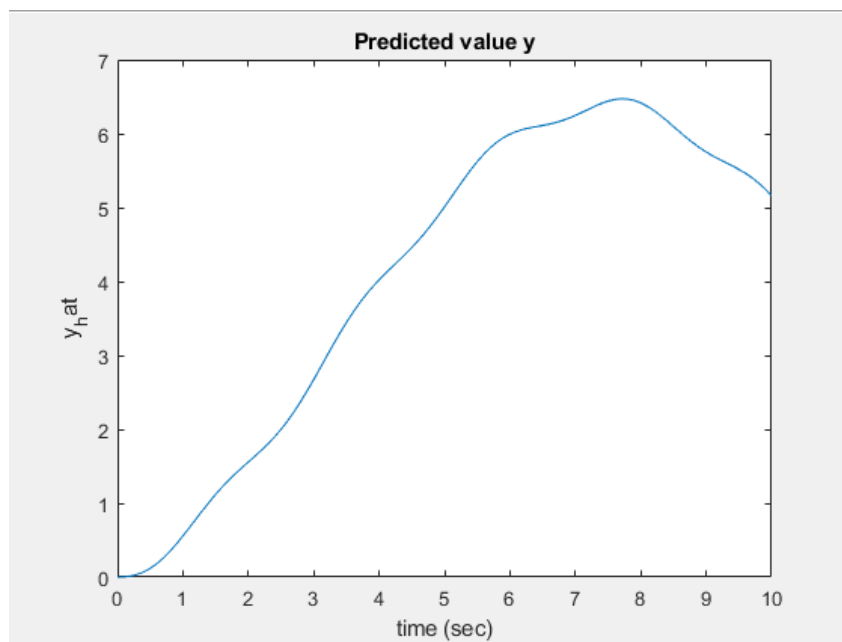


Figure 1.2: Εκτίμηση της Εξόδου του Μοντέλου

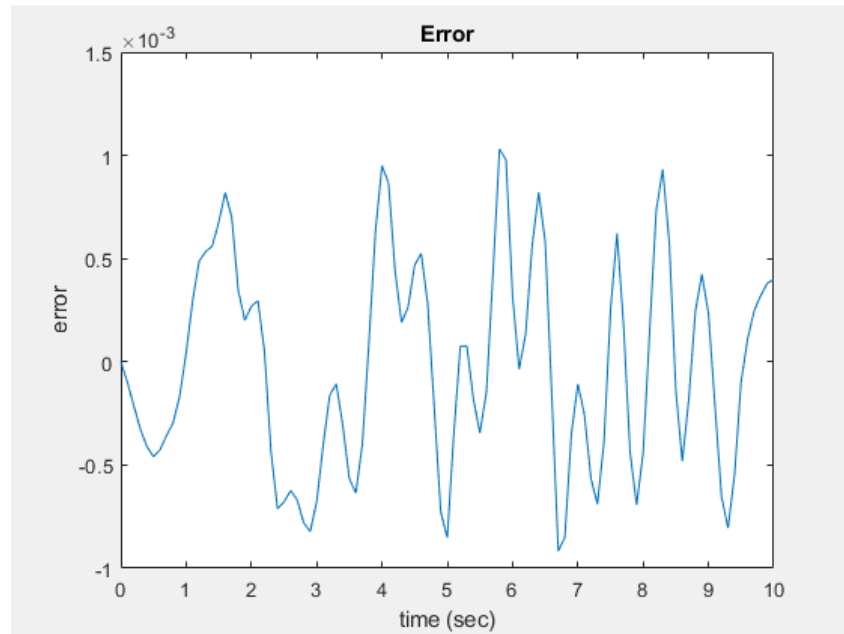


Figure 1.3: Σφάλμα

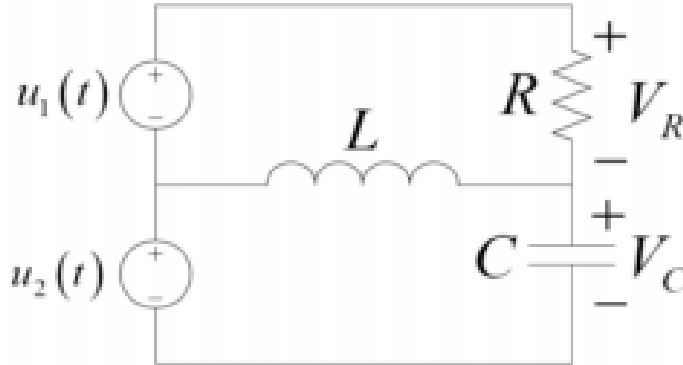
Από τα παραπάνω διαγράμματα βλέπουμε ότι η εκτίμηση της εξόδου από το μοντέλο είναι πολύ κοντά. Αυτό επιβεβαιώνεται και από το σφάλμα το οποίο είναι της τάξης του  $10^{-3}$ .

Επομένως, εφόσον η απόκριση των πραγματικών τιμών από τις εκτιμήσεις είναι μικρή και το σφάλμα μπορεί να θεωρηθεί αμελητέο συμπεραίνουμε ότι το  $\theta_0$  προσεγγίζει ικανοποιητικά το  $\theta^*$



## 2 Θέμα 2

Δίνεται το κύκλωμα του παρακάτω σχήματος:



Όπου  $u_1(t) = 3\sin(2t)V$  και  $u_2(t) = 2V$ . Επιπλέον, μπορούμε να μετρήσουμε μόνο τις τάσεις  $V_R$ ,  $V_C$  στα άκρα της αντίστασης και του πυκνωτή αντίστοιχα.

### 2.1 Πρώτο Ερώτημα

Είσοδοι κυκλώματος :  $u_1, u_2$

Έξοδοι κυκλώματος:  $y_1 = V_C, y_2 = V_R$

Από την μέθοδο των βρόχων ορίζονται δεξιόστροφα τα ρεύματα βρόγχων  $i_1, i_2$  και από το παραπάνω κύκλωμα προκύπτουν τα εξής:

$$i_1 = \frac{V_R}{R} \quad (2.1)$$

$$i_2 = C \frac{dV_C}{dt} \Rightarrow i_2 = C \dot{V}_C \quad (2.2)$$

Εξίσωση του πάνω βρόγχου:

$$u_1 = V_R + V_L = V_R + \frac{d(i_1 - i_2)}{dt} L \quad (2.3)$$

Εξίσωση του κάτω βρόγχου:

$$u_2 = V_L + V_C = \frac{d(i_2 - i_1)}{dt} L + V_C \quad (2.4)$$

Αθροίζοντας τις σχέσεις (2.3), (2.4) κατά μέλη έχουμε:

$$u_1 + u_2 = V_R + V_C \Rightarrow V_R = u_1 + u_2 - V_C \quad (2.5)$$

Από (2.3) έχουμε:

$$\begin{aligned}
u_1 &= V_R + \frac{d(i_1 - i_2)}{dt}L = V_R + \frac{d}{dt}\left[\frac{V_R}{R} - C\frac{dV_C}{dt}\right]L = V_R + \frac{L}{R}\frac{dV_R}{dt} - CL\frac{d^2V_C}{dt^2} = \\
&u_1 + u_2 - V_C + \frac{L}{R}\frac{d}{dt}[u_1 + u_2 - V_C] - CL\ddot{V}_C \Rightarrow \\
u_1 &= u_1 + u_2 - V_C + \frac{L}{R}\dot{u}_1 + \frac{L}{R}\dot{u}_2 - \frac{L}{R}\dot{V}_C - CL\ddot{V}_C \Rightarrow \\
CL\ddot{V}_C + \frac{L}{R}\dot{V}_C + V_C &= \frac{L}{R}\dot{u}_1 + \frac{L}{R}\dot{u}_2 + u_2 \Rightarrow \\
\ddot{V}_C + \frac{1}{RC}\dot{V}_C + \frac{1}{LC}V_C &= \frac{1}{RC}\dot{u}_1 + \frac{1}{RC}\dot{u}_2 + \frac{1}{LC}u_2 \Rightarrow
\end{aligned} \tag{2.6}$$

$$\ddot{V}_C = -\frac{1}{RC}\dot{V}_C - \frac{1}{LC}V_C - \frac{1}{RC}\dot{u}_1 + \frac{1}{RC}\dot{u}_2 + \frac{1}{LC}u_2 \tag{2.7}$$

Εφαρμόζοντας μετασχηματισμό **Laplace** με μηδενικές αρχικές συνθήκες στη σχέση (2.6) έχουμε:

$$V_C(s) = \frac{\frac{1}{RC}s}{s^2 + \frac{1}{RC}s + \frac{1}{LC}}U_1(s) + \frac{\frac{1}{RC}s + \frac{1}{LC}}{s^2 + \frac{1}{RC}s + \frac{1}{LC}}U_2(s) \tag{2.8}$$

Ομοίως εφαρμόζοντας μετασχηματισμό **Laplace** στην (2.5) προκύπτει η ακόλουθη σχέση:

$$V_R(s) = \frac{s^2 + \frac{1}{LC}}{s^2 + \frac{1}{RC}s + \frac{1}{LC}}U_1(s) + \frac{s^2}{s^2 + \frac{1}{RC}s + \frac{1}{LC}}U_2(s) \tag{2.9}$$

Στη συνέχεια, χρησιμοποιούμε τις δύο παραπάνω σχέσεις για να υπολογίσουμε τον πίνακα μεταφοράς  $G(s) = \frac{Y(s)}{U(s)}$ :

$$\begin{aligned}
\begin{bmatrix} V_C(s) \\ V_R(s) \end{bmatrix} &= \begin{bmatrix} \frac{\frac{1}{RC}s}{s^2 + \frac{1}{RC}s + \frac{1}{LC}} & \frac{\frac{1}{RC}s + \frac{1}{LC}}{s^2 + \frac{1}{RC}s + \frac{1}{LC}} \\ \frac{s^2 + \frac{1}{LC}}{s^2 + \frac{1}{RC}s + \frac{1}{LC}} & \frac{s^2}{s^2 + \frac{1}{RC}s + \frac{1}{LC}} \end{bmatrix} \begin{bmatrix} U_1(s) \\ U_2(s) \end{bmatrix} \\
G(s) = \frac{Y(s)}{U(s)} &= \begin{bmatrix} \frac{\frac{1}{RC}s}{s^2 + \frac{1}{RC}s + \frac{1}{LC}} & \frac{\frac{1}{RC}s + \frac{1}{LC}}{s^2 + \frac{1}{RC}s + \frac{1}{LC}} \\ \frac{s^2 + \frac{1}{LC}}{s^2 + \frac{1}{RC}s + \frac{1}{LC}} & \frac{s^2}{s^2 + \frac{1}{RC}s + \frac{1}{LC}} \end{bmatrix}
\end{aligned}$$

Παρατηρούμε ότι ο πίνακας μεταφοράς έχει άγνωστα στοιχεία και θα τα εκτιμήσουμε με την μέθοδο ελαχίστων τετραγώνων. Αρχικά, φέρνουμε το σύστημα στην μορφή  $\ddot{y}_1 = \theta^{*T}\Delta$ .

Από την σχέση (2.7) προκύπτουν τα διανύσματα  $\theta^*$  και  $\Delta$  όπως παρακάτω:

$$\begin{aligned}
\theta^* &= \begin{bmatrix} \frac{1}{RC} & \frac{1}{LC} & \frac{1}{RC} & 0 & \frac{1}{RC} & \frac{1}{LC} \end{bmatrix}^T \\
\theta_1^* &= \begin{bmatrix} \frac{1}{RC} & \frac{1}{LC} \end{bmatrix}^T
\end{aligned}$$

$$\begin{aligned}\theta_2^* &= \begin{bmatrix} \frac{1}{RC} & 0 \end{bmatrix}^T \\ \theta_3^* &= \begin{bmatrix} \frac{1}{RC} & \frac{1}{LC} \end{bmatrix}^T \\ \Delta &= \begin{bmatrix} -\dot{V}_C & -V_C & \dot{u}_1 & u_1 & \dot{u}_2 & u_2 \end{bmatrix}\end{aligned}$$

Ωστόσο, τα μοναδικά σήματα που μπορούμε να μετρήσουμε είναι μόνο οι είσοδοι  $u_1, u_2$ , ενώ επίσης η χρήση παραγωγίσισης είναι απαγορευτική. Άρα δεν μπορούμε να χρησιμοποιήσουμε ούτε το  $\dot{y}$  ούτε το  $\Delta$ .

Για αυτό το λόγο θα χρησιμοποιήσουμε πάλι φίλτρο το οποίο θα πρέπει να είναι ευσταθές, ώστε να μην χάνεται η βασική πληροφορία. Έτσι, θα χρησιμοποιήσουμε ένα φίλτρο  $2^{η}$  τάξης,  $\frac{1}{\Lambda(s)}$ . Έστω ότι  $\Lambda(s) = (s + \rho)^2$  με  $\lambda = \begin{bmatrix} 2\rho & \rho^2 \end{bmatrix}$ . Για να επιλέξουμε το  $\rho$  χρειάζεται να κάνουμε δοκιμές για να βρούμε το κατάλληλο. Εξηγείται παρακάτω ο τρόπος πως βρέθηκε.

Φιλτράροντας τα δύο μέλη της σχέσης που σταματήσαμε βρίσκουμε το γραμμικά παραμετροποιημένο μοντέλο  $\ddot{y}_1 = \theta_\lambda^T \zeta$  με  $\theta_\lambda$  και  $\zeta$  τα παρακάτω:

$$\begin{aligned}\theta_\lambda &= \begin{bmatrix} \frac{1}{RC} - 2\rho & \frac{1}{LC} - \rho^2 & \frac{1}{RC} & 0 & \frac{1}{RC} & \frac{1}{LC} \end{bmatrix}^T \\ \zeta &= \begin{bmatrix} -\frac{s}{(s+\rho)^2} y_1 & -\frac{1}{(s+\rho)^2} y_1 & \frac{s}{(s+\rho)^2} u_1 & \frac{1}{(s+\rho)^2} u_1 & \frac{s}{(s+\rho)^2} u_2 & \frac{1}{(s+\rho)^2} u_2 \end{bmatrix}\end{aligned}$$

Παρατηρούμε ότι τα φίλτρα είναι υλοποιήσιμα αφού ο βαθμός του παρονομαστή είναι μεγαλύτερος από αυτόν του αριθμητή. Επίσης, το σύστημα πλέον είναι γραμμικά παραμετροποιημένο, άρα μπορούμε να εφαρμόσουμε **MT Laplace** ώστε να υπολογίσουμε το  $\theta_0$  με το ελάχιστο σφάλμα.

Μετασχηματίζουμε με αντίστροφο **Laplace** το διάνυσμα  $\zeta$ :

$$\begin{aligned}\varphi_1(t) &= LT^{-1}[-\frac{s}{(s+\rho)^2} y_1] \\ \varphi_2(t) &= LT^{-1}[-\frac{1}{(s+\rho)^2} y_1] \\ \varphi_3(t) &= LT^{-1}[-\frac{1}{(s+\rho)^2} u_1] \\ \varphi_4(t) &= LT^{-1}[-\frac{1}{(s+\rho)^2} u_1] \\ \varphi_5(t) &= LT^{-1}[-\frac{1}{(s+\rho)^2} u_2] \\ \varphi_6(t) &= LT^{-1}[-\frac{1}{(s+\rho)^2} u_2]\end{aligned}$$

Ορίζουμε παρόμοια όπως και στο πρώτο θέμα τα διανύσματα  $\Phi$  και  $Y_1$  με  $N$  μετρήσεις εξόδου:

$$\Phi = \begin{bmatrix} \varphi_1(1) & \varphi_2(1) & \varphi_3(1) & \varphi_4(1) & \varphi_5(1) & \varphi_6(1) \\ \varphi_1(2) & \varphi_2(2) & \varphi_3(2) & \varphi_4(2) & \varphi_5(2) & \varphi_6(2) \\ \vdots & & & & \vdots & \\ \varphi_1(N) & \varphi_2(N) & \varphi_3(N) & \varphi_4(N) & \varphi_5(N) & \varphi_6(N) \end{bmatrix}$$

$$Y_1 = \begin{bmatrix} Y(1) & Y(2) & \dots & Y(N) \end{bmatrix}$$

Για το σφάλμα έχουμε  $e = Y_1 - \Phi\Theta$  και η συνάρτηση που είναι για ελαχιστοποίηση είναι  $V_N = \frac{|Y_1 - \Phi\Theta|^2}{2}$

Για το ζητούμενο  $\theta_0$  ισχύει ότι:

$$\theta_0 = \underset{\theta}{\operatorname{argmin}} \frac{1}{N} \sum_{t=1}^N \frac{|e^2|}{2}$$

Αποδεικνύεται ότι η  $V_N$  είναι κυρτή ως προς  $\theta$  για κάθε  $t$ . Επομένως, αυτό σημαίνει ότι αν πάρουμε  $\frac{dV_N}{d\theta} = 0$  θα βρούμε το μοναδικό ελάχιστο  $\theta_0$ .

$$\frac{dV_N}{d\theta} = 0 \Rightarrow (Y_1 - \Phi\theta_0)^T (-\Phi) = 0 \Rightarrow -Y_1^T \Phi + \theta_0^T \Phi^T \Phi = Y_1^T \Phi$$

Αν το  $\Phi^T \Phi$  είναι αντιστρέψιμο, το σύστημα θα έχει μοναδική λύση:

$$\theta_0^T = Y_1^T \Phi (\Phi^T \Phi)^{-1} \Rightarrow$$

$$\theta_0^T = \begin{bmatrix} Y(1) & Y(2) & \dots & Y(N) \end{bmatrix} \begin{bmatrix} \varphi_1(1) & \varphi_2(1) & \varphi_3(1) & \varphi_4(1) & \varphi_5(1) & \varphi_6(1) \\ \varphi_1(2) & \varphi_2(2) & \varphi_3(2) & \varphi_4(2) & \varphi_5(2) & \varphi_6(2) \\ \vdots & & & & \vdots & \\ \varphi_1(N) & \varphi_2(N) & \varphi_3(N) & \varphi_4(N) & \varphi_5(N) & \varphi_6(N) \end{bmatrix}$$

$$\left( \begin{bmatrix} \varphi_1(1) & \varphi_1(2) & \dots & \varphi_1(N) \\ \varphi_2(1) & \varphi_2(2) & \dots & \varphi_2(N) \\ \varphi_3(1) & \varphi_3(2) & \dots & \varphi_3(N) \\ \varphi_4(1) & \varphi_4(2) & \dots & \varphi_4(N) \\ \varphi_5(1) & \varphi_5(2) & \dots & \varphi_5(N) \\ \varphi_6(1) & \varphi_6(2) & \dots & \varphi_6(N) \end{bmatrix} \begin{bmatrix} \varphi_1(1) & \varphi_2(1) & \varphi_3(1) & \varphi_4(1) & \varphi_5(1) & \varphi_6(1) \\ \varphi_1(2) & \varphi_2(2) & \varphi_3(2) & \varphi_4(2) & \varphi_5(2) & \varphi_6(2) \\ \vdots & & & & \vdots & \\ \varphi_1(N) & \varphi_2(N) & \varphi_3(N) & \varphi_4(N) & \varphi_5(N) & \varphi_6(N) \end{bmatrix} \right)^{-1}$$

Οι διαστάσεις του  $\theta_0^T$  θα είναι  $(1 \times 6)$ .

## MATLAB SIMULATION

Παρακάτω γίνεται μια σύντομη αναφορά στα αρχεία του κώδικα και στη συνέχεια σχολιάζονται τα αποτελέσματα της προσομοίωσης.

Αρχεία κώδικα:

**get\_real\_v\_signals.m:** Συνάρτηση που υλοποιεί τις τις πραγματικές τιμές των τάσεων  $V_R, V_L$  με την βοήθεια του αρχείου που δίνεται στην εκφώνηση (**V.p**)

**u1\_func.m:** Συνάρτηση που υλοποιεί την  $u = 3\sin(2t)V$  που αναφέρεται παραπάνω

**u2\_func.m:** Συνάρτηση που υλοποιεί την  $u = 2V$  που αναφέρεται παραπάνω

**least\_square\_method.m:** Συνάρτηση που υλοποιεί την μέθοδο ελαχίστων τετραγώνων όπως και στο πρώτο θέμα

**demo\_script\_problem2.m:** Script που χρησιμοποιεί όλες τις παραπάνω συναρτήσεις για την προσομοίωση του προβλήματος και την παρουσίαση των αποτελεσμάτων του.

## ΕΠΙΛΟΓΗ ΚΑΤΑΛΛΗΛΟΥ ΦΙΛΤΡΟΥ

Δεν γνωρίζουμε το χρόνο που πρέπει να χρησιμοποιηθεί ώστε η συχνότητα δειγματοληψίας να είναι η κατάλληλη για να αποφύγουμε την απώλεια πληροφορίας. Χρησιμοποιούμε το κριτήριο **Nyquist** και επομένως έχουμε:

$$f_s > 2f_T \Rightarrow T_s < \frac{1}{2f_T}$$

με  $f_T$  την συχνότητα ταλάντωσης.

Αν θεωρήσουμε ότι οι τιμές των στοιχείων του κυκλώματος είναι των τάξεων **mH**, **μF** και **kΩ**, προκύπτει η ακόλουθη σχέση για την συχνότητα ταλάντωσης από το κύκλωμα σειράς **L, C** που αποτελεί ο κάτω βρόγχος:

$$j\omega L = \frac{1}{j\omega C} \Rightarrow \omega^2 = \frac{1}{LC} \Rightarrow f_T = \frac{1}{2\pi\sqrt{LC}} = \frac{1}{2\pi\sqrt{10^{-6}10^{-3}}} = 5033Hz$$

Άρα:

$$T_s < \frac{1}{2f_T} \Rightarrow T_s < \frac{1}{2 * 5033} \Rightarrow T_s < 0.0001sec$$

Επομένως, προκύπτει ότι η περίοδος δειγματοληψίας θα είναι το πολύ **0.0001 sec**. Έστερα από πολλές δοκιμές καταλήγουμε στο παρακάτω φίλτρο:

$$\Lambda(s) = (s + 100)^2 \Rightarrow \lambda = \begin{bmatrix} 200 & 10000 \end{bmatrix}$$

Άρα:

$$\theta_\lambda = \begin{bmatrix} \frac{1}{RC} - 200 & \frac{1}{LC} - 10000 & \frac{1}{RC} & 0 & \frac{1}{RC} & \frac{1}{LC} \end{bmatrix}^T$$

Από την προσομοίωση έχουμε :

$$\theta_0 = \begin{bmatrix} -190.015 & 9.99e^{+06} & 10.0004 & 1.59e^{-05} & -0.075 & 1e^{+07} \end{bmatrix}^T$$

Παρατηρούμε ότι η αρνητική τιμή οφείλεται στις πράξεις που έγιναν με τους συντελεστές του φίλτρου. Ο κοινός όρος  $\frac{1}{RC}$  δεν είναι αρκετά κοντά στα δύο στοιχεία, ενώ ο μηδενικός όρος προσεγγίζεται πολύ καλά.

## MATLAB FIGURES

Παρακάτω παρουσιάζονται έξι γραφήματα για τις πραγματικές εξόδους του συστήματος, για τις εκτιμήσεις των εξόδων του μοντέλου καθώς και για τα σφάλματα τα οποία ορίζονται όπως παραπάνω.

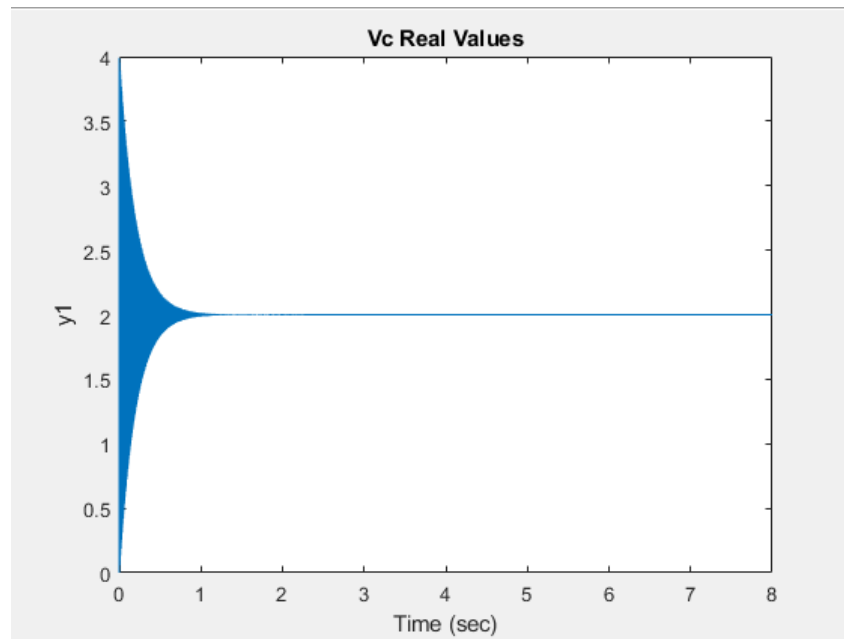


Figure 2.1: Πραγματική Έξοδος  $V_C$  του Συστήματος

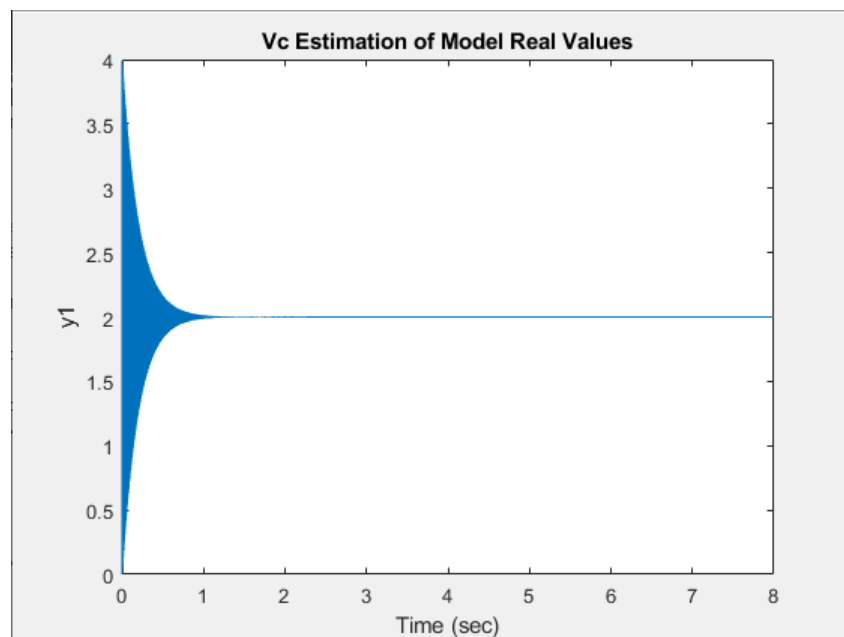


Figure 2.2: Εκτίμηση της Εξόδου  $V_C$  του Μοντέλου

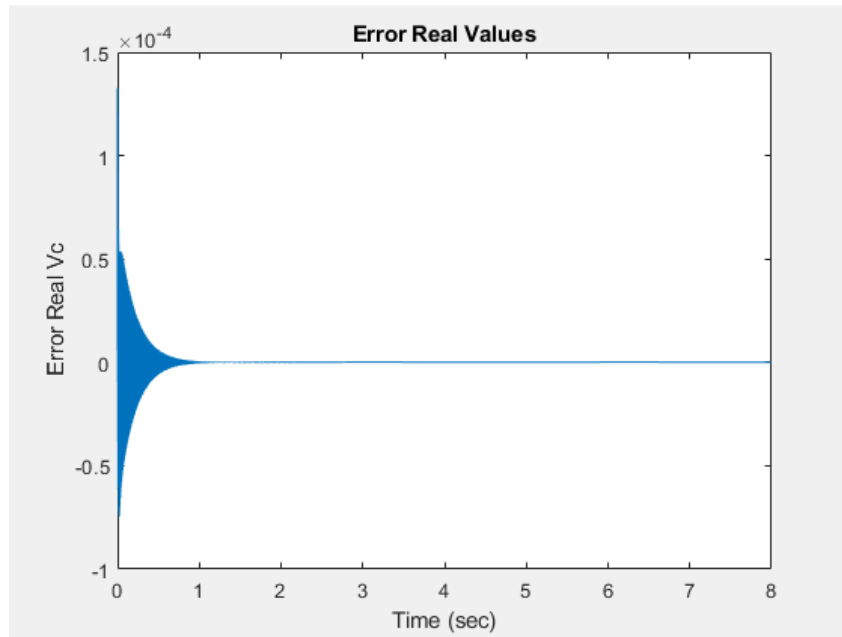


Figure 2.3: Σφάλμα  $V_C$

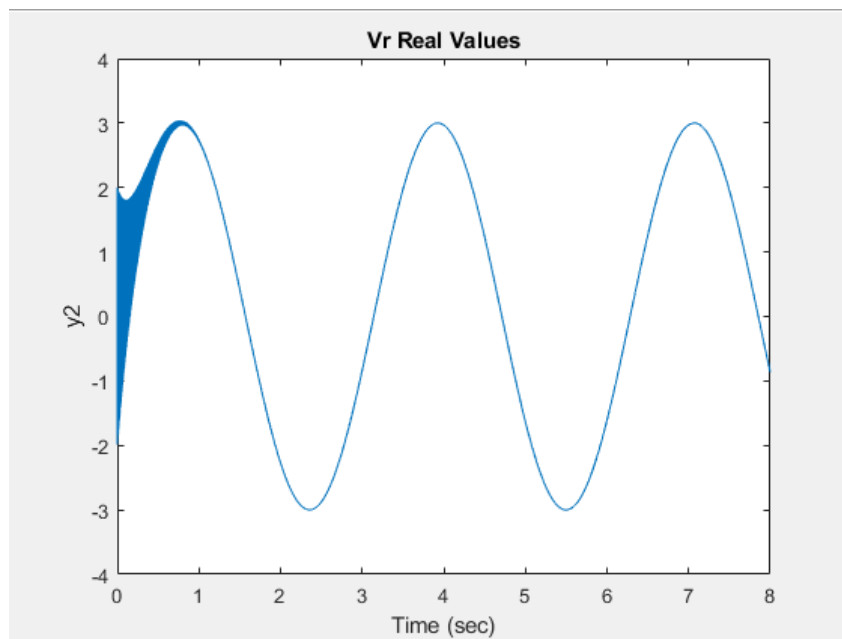


Figure 2.4: Πραγματική Έξοδος  $V_R$  του Συστήματος

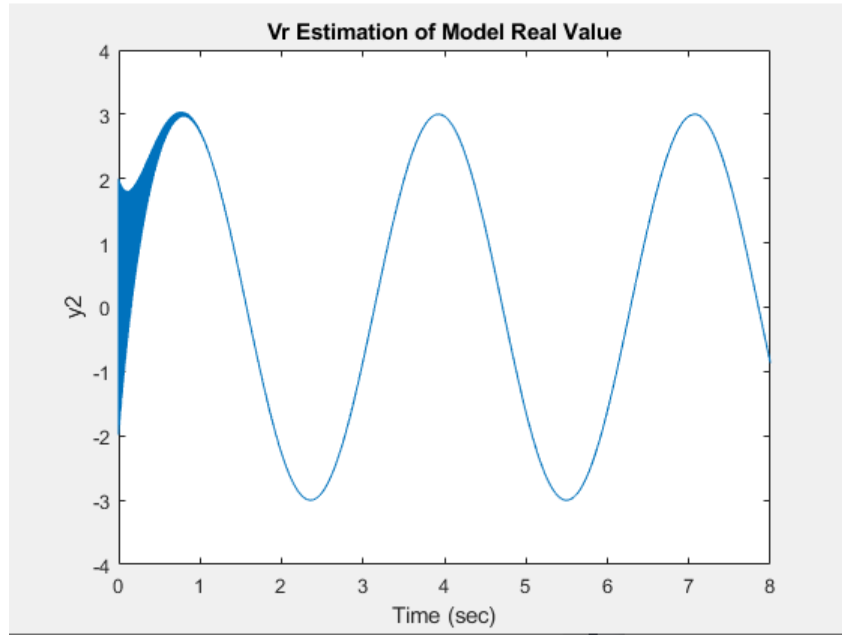


Figure 2.5: Εκτίμηση της Εξόδου  $V_R$  του Μοντέλου

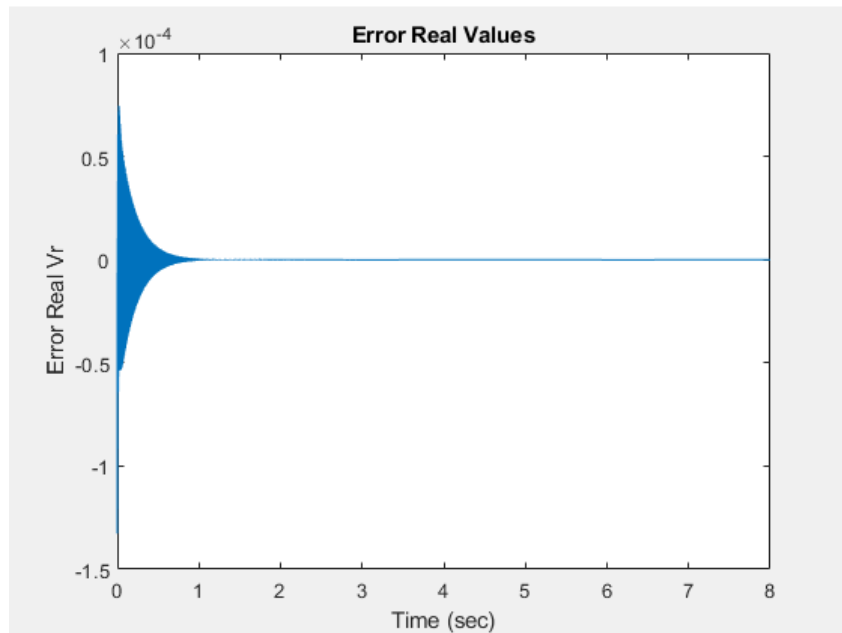


Figure 2.6: Σφάλμα  $V_R$

Παρατηρούμε ότι η μορφή των δύο εισόδων - εξόδων εξαρτάται από τη μορφή των τάσεων οπότε βλέπουμε γραμμική τη  $V_C$  και ημιτονοειδή τη  $V_R$ . Οι εκτιμήσεις των εξόδων του μοντέλου ακολουθούν ικανοποιητικά τις πραγματικές εξόδους, πράγμα που το επιβεβαιώνουν και τα δύο σφάλματα που είναι της τάξης του  $10^{-4}$

Άρα έχουμε βρει ένα κατάλληλο  $\theta_0$  και το μοντέλο ικανοποιεί το σφάλμα εκτίμησης. Εξισώνοντας τους συντελεστές του  $\theta_\lambda$  προκύπτει:

$$\frac{1}{RC} = 10, \frac{1}{LC} = 1 * 10^7$$



Άρα ο πίνακας μεταφοράς θα είναι:

$$G(s) = \frac{Y(s)}{U(s)} = \begin{bmatrix} \frac{\frac{1}{RC}s}{s^2 + \frac{1}{RC}s + \frac{1}{LC}} & \frac{\frac{1}{RC}s + \frac{1}{LC}}{s^2 + \frac{1}{RC}s + \frac{1}{LC}} \\ \frac{s^2 + \frac{1}{LC}}{s^2 + \frac{1}{RC}s + \frac{1}{LC}} & \frac{s^2}{s^2 + \frac{1}{RC}s + \frac{1}{LC}} \end{bmatrix} = \begin{bmatrix} \frac{10s}{s^2 + 10s + 1 \cdot 10^7} & \frac{10s + 1 \cdot 10^7}{s^2 + 10s + 1 \cdot 10^7} \\ \frac{s^2 + 1 \cdot 10^7}{s^2 + 10s + 1 \cdot 10^7} & \frac{s^2}{s^2 + 10s + 1 \cdot 10^7} \end{bmatrix}$$

## 2.2 Δεύτερο Ερώτημα

### MATLAB Προσομοίωση

Για αυτή την ερώτηση δημιουργήθηκε ένα επιπλέον αρχείο κώδικα, το `get_error_v_signals.m`, ενώ στο βασικό `script` έχουν συμπεριληφθεί και τα αποτελέσματα του ερωτήματος αυτού.

$$\theta_\lambda = \left[ \frac{1}{RC} - 200 \quad \frac{1}{LC} - 10000 \quad \frac{1}{RC} \quad 0 \quad \frac{1}{RC} \quad \frac{1}{LC} \right]^T$$

Από την προσομοίωση έχουμε :

$$\theta_{0error} = \left[ -7.04 \quad -809.22 \quad 3.4664 \quad -7.8399 \quad 212.978 \quad 1.2926e^{+04} \right]^T$$

Οι εκτιμήσεις δεν προσεγγίζουν τις πραγματικές τιμές των παραμέτρων αφού παρατηρούμε ότι ο μηδενικός όρος δεν προσεγγίζεται ικανοποιητικά και τα δύο στοιχεία που αντιστοιχούν στον κοινό όρο  $\frac{1}{RC}$  δεν έχουν αρκετά κοντινές τιμές .

### MATLAB FIGURES

Παρακάτω παρουσιάζονται έξι γραφήματα για τις πραγματικές εξόδους του συστήματος, για τις εκτιμήσεις των εξόδων του μοντέλου καθώς και για τα σφάλματα τα οποία ορίζονται όπως παραπάνω όταν έχουμε λανθασμένες τυχαίες τιμές.

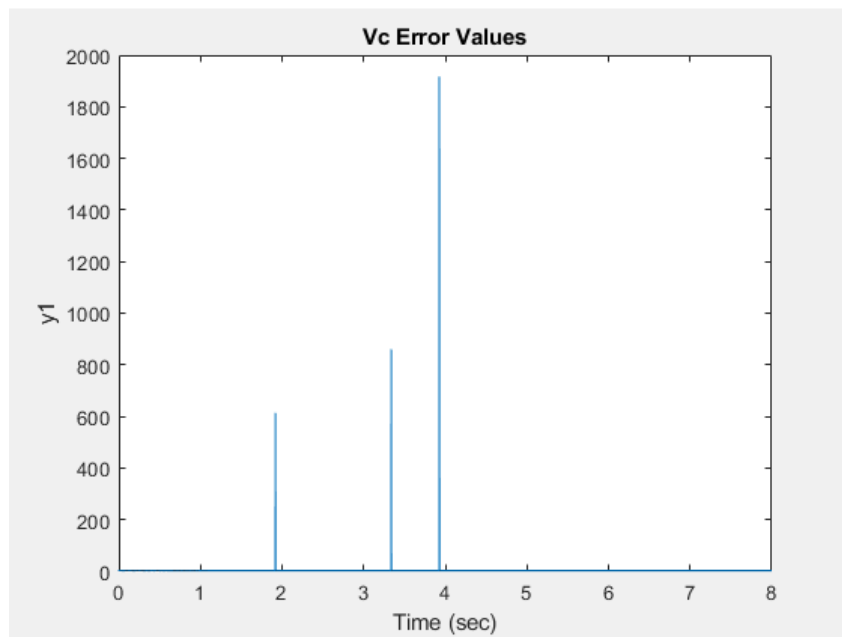


Figure 2.7: Εσφαλμένη Έξοδος  $V_C$  του Συστήματος

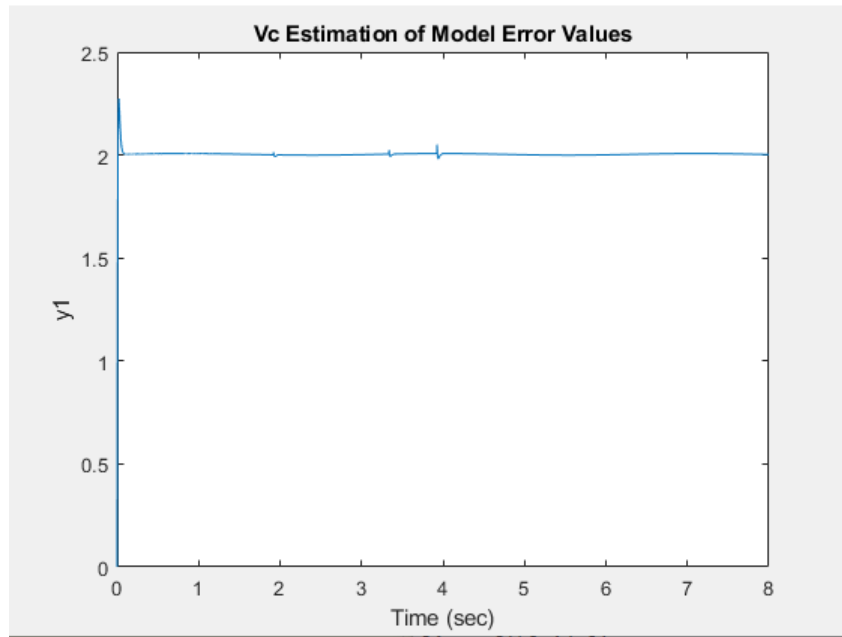


Figure 2.8: Εκτίμηση της Εσφαλμένης Εξόδου  $V_C$  του Μοντέλου

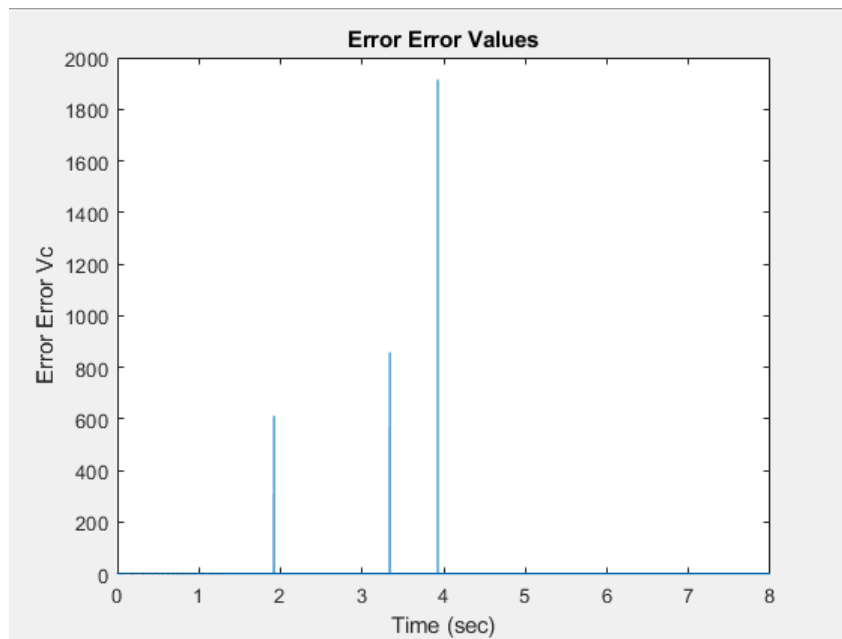


Figure 2.9: Σφάλμα  $V_C$

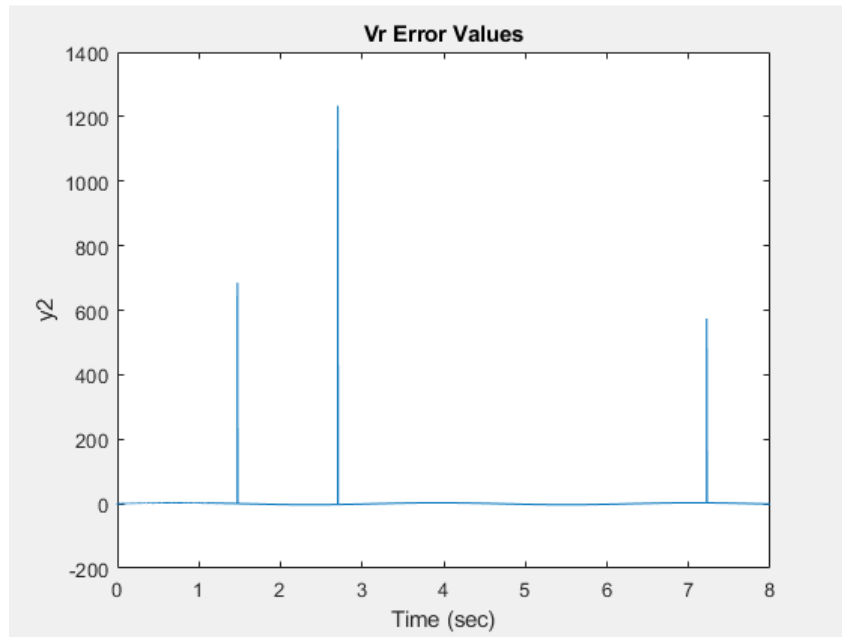


Figure 2.10: Εσφαλμένη Έξοδος  $V_R$  του Συστήματος

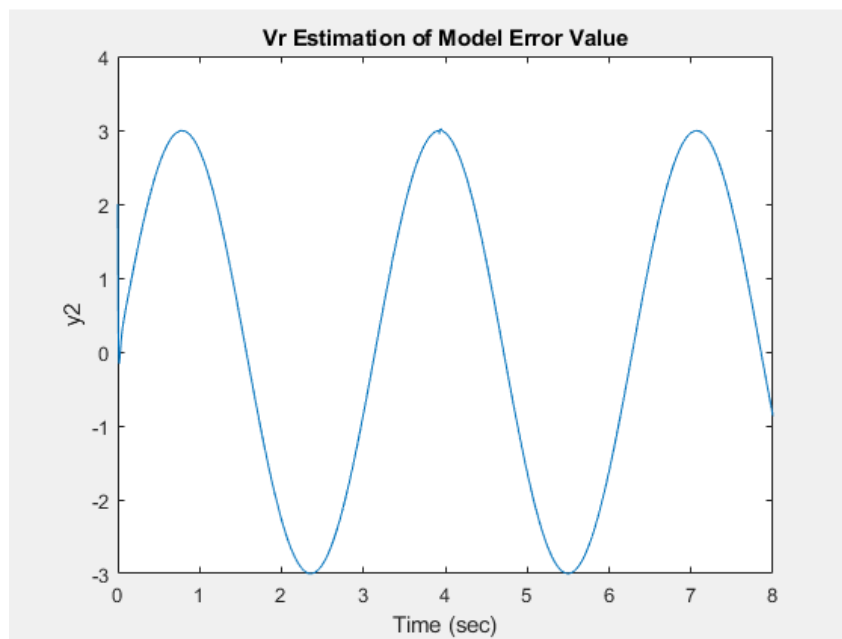


Figure 2.11: Εκτίμηση της Εσφαλμένης Εξόδου  $V_R$  του Μοντέλου

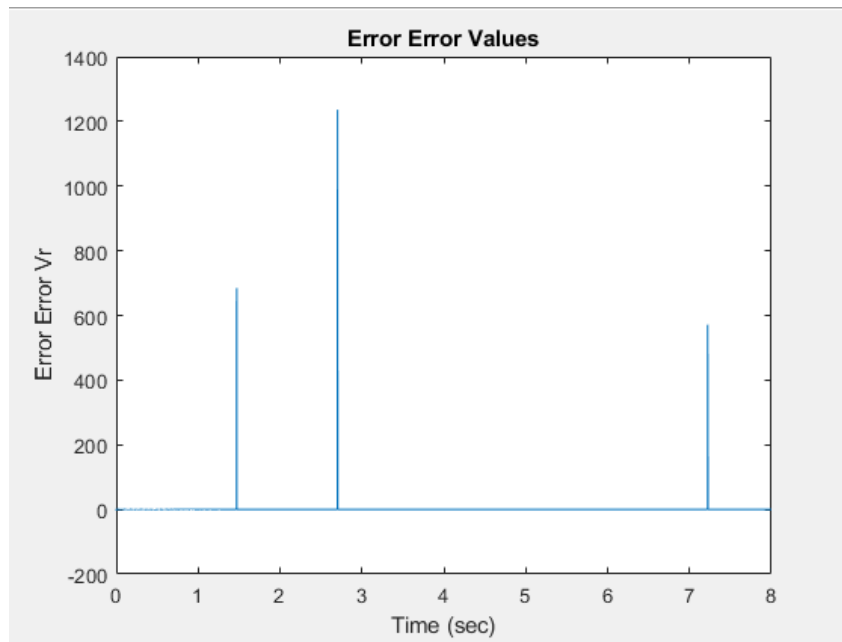


Figure 2.12: Σφάλμα  $V_R$

Από τα διαγράμματα συμπεραίνουμε ότι η μορφή των 2 εξόδων- τάσεων διατηρείται με εξαίρεση τις τρεις τυχαίες χρονικές στιγμές. Η έξοδος  $V_C$  μοντέλου πριν αποτελούσε μια ευθεία γραμμή κοντά στο 2 , αποκλίνει πλέον λίγο. Στις τρεις τυχαίες χρονικές στιγμές αποκλίνει κατά πολύ . Η έξοδος  $V_R$  διατηρεί την ημιτονοειδή μορφή της .Το σφάλμα και στις δύο περιπτώσεις μπορεί να θεωρηθεί αμελητέο , με εξαίρεση τις τρεις τυχαίες χρονικές στιγμές , στις οποίες είναι πολύ υψηλό λόγω της τάξης μεγέθους των τυχαίων τιμών.

## List of Figures

1.1	Πραγματική Έξοδος του Συστήματος . . . . .	5
1.2	Εκτίμηση της Εξόδου του Μοντέλου . . . . .	5
1.3	Σφάλμα . . . . .	6
2.1	Πραγματική Έξοδος $V_C$ του Συστήματος . . . . .	12
2.2	Εκτίμηση της Εξόδου $V_C$ του Μοντέλου . . . . .	12
2.3	Σφάλμα $V_C$ . . . . .	13
2.4	Πραγματική Έξοδος $V_R$ του Συστήματος . . . . .	13
2.5	Εκτίμηση της Εξόδου $V_R$ του Μοντέλου . . . . .	14
2.6	Σφάλμα $V_R$ . . . . .	14
2.7	Εσφαλμένη Έξοδος $V_C$ του Συστήματος . . . . .	15
2.8	Εκτίμηση της Εσφαλμένης Εξόδου $V_C$ του Μοντέλου . . . . .	16
2.9	Σφάλμα $V_C$ . . . . .	16
2.10	Εσφαλμένη Έξοδος $V_R$ του Συστήματος . . . . .	17
2.11	Εκτίμηση της Εσφαλμένης Εξόδου $V_R$ του Μοντέλου . . . . .	17
2.12	Σφάλμα $V_R$ . . . . .	18